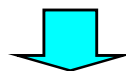


電路學(Electric Circuits)

27、28、33章探究的主要問題架構

電路學發展緣由？



電路分析的主要元件與物理量為何？



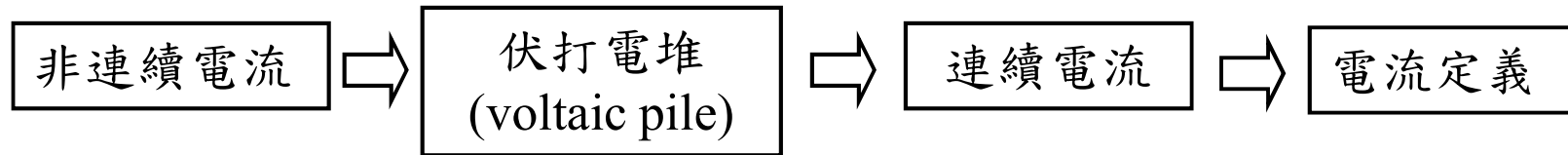
理論分析的主要原理為何？



實驗量測的儀表有哪些？

✦ 電流(current)與電阻(Resistance)

- 探討電荷運動的相關問題。



定義 $\left\{ \begin{array}{l} \text{平均電流} : I_{av} = \frac{\Delta Q}{\Delta t} \\ \text{瞬間電流} : I = \frac{dQ}{dt} \end{array} \right.$

；單位：1A=1C/s ；方向：正電荷運動方向，即高電位往低電位。

注意：（實際是負電荷的電子在運動）

Fig.27.2

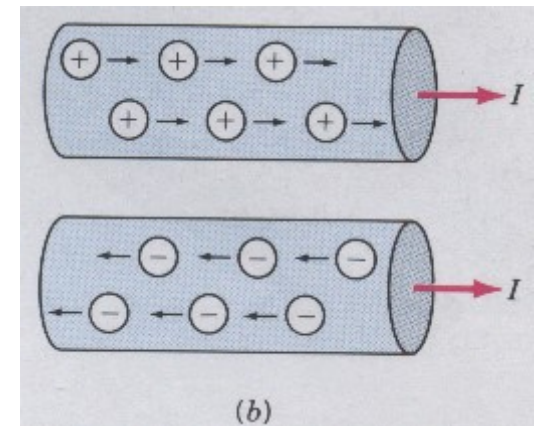
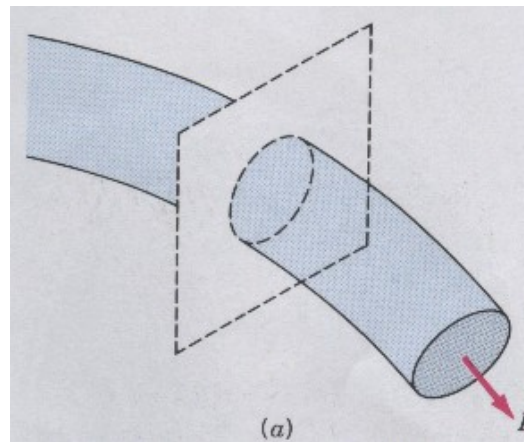
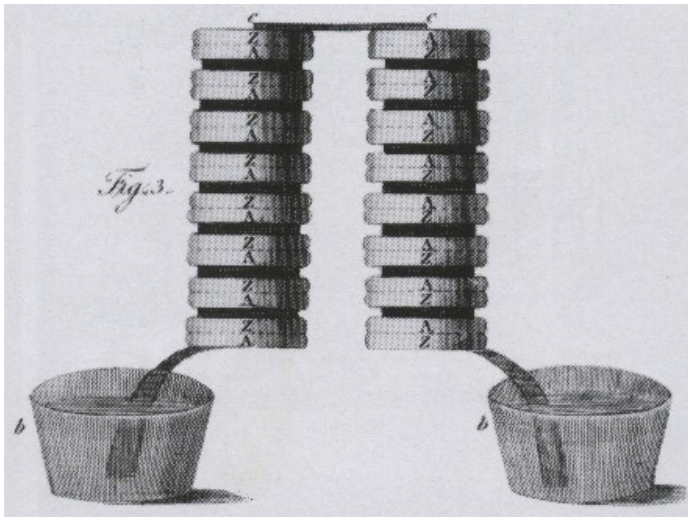


Fig.27.3

●導線內的電場(當導線接電池兩端)

- (1) 電荷會在此兩端或導線表面流動，電荷密度大小會隨著與端點間的距離而遞減。
- (2) 靜態平衡情況(static condition)下，導線表面電場會垂直於導線，但當導線兩端跨有電位差，在沿導線方向會有一平行分量，驅使電流在導線上流動。

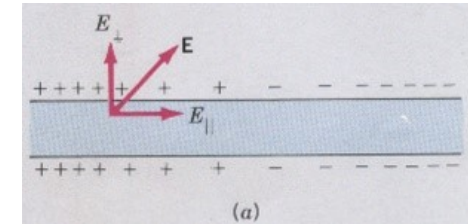
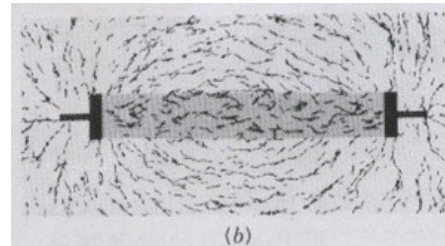
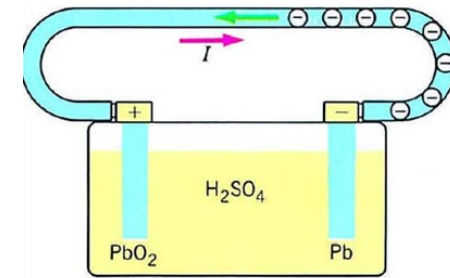


Fig.27.5

●導線內部電流性質

載流導線內部的傳導電子運動軌跡相當不規則，無固定方向，其隨機性熱運動速率可高達 10^6 m/s，但因晶格正離子的碰撞，當電位差施於導線兩端，實際漂移速度只有 10^{-4} m/s。

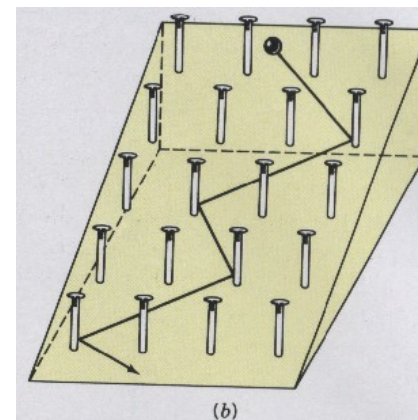
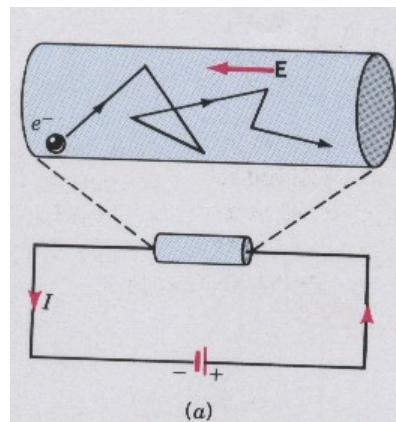


Fig.27.6

- 電流密度(current density) $\Rightarrow J = \frac{I}{A} = nqv_d$

$$I = \frac{\Delta Q}{\Delta t} = \frac{n(Al)q}{l/v_d} = nAqv_d \quad (\text{電流係以巨觀尺度測量的純量})$$

$$J = \frac{I}{A} = \frac{nAqv_d}{A} = nqv_d$$

$$\Rightarrow \vec{J} = nq\vec{v}_d \quad (\text{電流密度係以微觀尺度測量的向量})$$

$$I = \vec{J} \cdot \vec{A}(\text{uniform}) = \int \vec{J} \cdot d\vec{A}(\text{nonuniform})$$

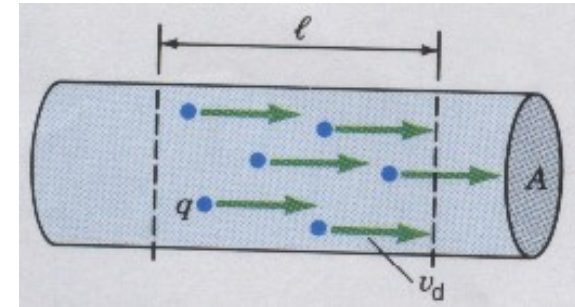


Fig.27.7

- 電阻(resistance) $\Rightarrow R = \frac{V}{I}$; 與 $\begin{cases} \text{幾何形狀} \\ \text{導電性質} \end{cases}$ 有關 ; 單位 : $1\Omega = 1 \text{ V/A}$

$$\begin{cases} \vec{J} = nq\vec{v}_d \\ \vec{v}_d \propto \vec{E} \end{cases} \Rightarrow \vec{J} \propto \vec{E} \Rightarrow \vec{J} = \sigma \vec{E} = \frac{1}{\rho} \vec{E} \quad , \quad \text{其中} \quad \begin{cases} \sigma \text{ 為導電率(conductivity)} \\ \rho \text{ 為電阻率(resistivity)} \end{cases}$$

$$J = I/A = (1/\rho)E \Rightarrow I = (A/\rho)E$$

$$\xrightarrow{E=V/\ell} I = (A/\rho\ell)V \xrightarrow{R=V/I} R = \frac{\rho\ell}{A}$$

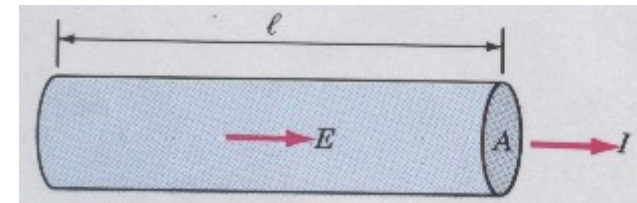


Fig.27.8

TABLE 27.1 RESISTIVITIES AT 20°C

Material	Resistivity ($\Omega \cdot \text{m}$)	Temperature Coefficient ($^{\circ}\text{C}^{-1}$)
Mica	2×10^{15}	-50×10^{-3}
Glass	$10^{12}-10^{13}$	-70×10^{-3}
Hard rubber	10^{13}	
Silicon	2200	-0.7
Germanium	0.45	-0.05
Carbon (graphite)	3.5×10^{-5}	-0.5×10^{-3}
Nichrome	1.2×10^{-6}	0.4×10^{-3}
Manganin	44×10^{-8}	5×10^{-7}
Steel	40×10^{-8}	8×10^{-4}
Platinum	11×10^{-8}	3.9×10^{-3}
Aluminum	2.8×10^{-8}	3.9×10^{-3}
Copper	1.7×10^{-8}	3.9×10^{-3}
Silver	1.5×10^{-8}	3.8×10^{-3}

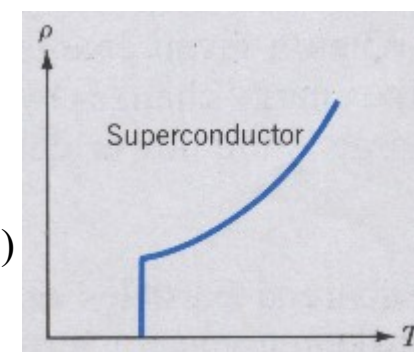
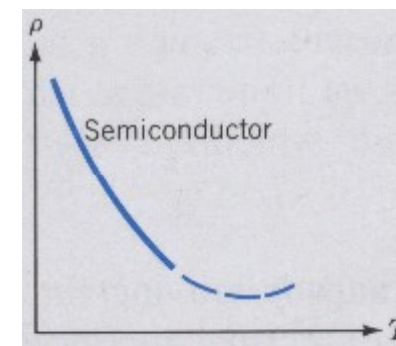
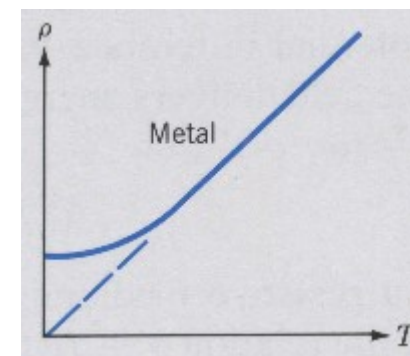


Fig.27.9

➤ 電阻率與溫度相關

◆ 純金屬的電阻率與溫度成正比

— 溫度 T 的金屬電阻率可利用某參考溫度 T_0 之電阻率 ρ_0 表示。

$$\rho = \rho_0 [1 + \alpha(T - T_0)] \quad \text{其中 } \alpha \text{ 表電阻率之溫度係數, } \alpha > 0$$

$$\left(\text{Note: } R = \frac{\rho \ell}{A} \Rightarrow R = R_0 [1 + \alpha(T - T_0)] \right)$$

◆ 半導體的電阻率與溫度成反比

$$\rho = \rho_0 [1 + \alpha(T - T_0) + \beta(T - T_0)^2] \quad \text{其中 } \alpha < 0 \text{ (反比), } \beta > 0 \text{ (彎曲向上)}$$

➤ 金屬電阻率的成因：

1. 電子與晶格中的正離子碰撞。(與溫度有關)
2. 雜質(impurities)。
3. 晶格瑕疵或缺陷(imperfection)。

➤ 金屬(Metal)電阻率與溫度成正比：

- 因溫度升高，晶格中離子的振盪振幅會增大，導致與電子的碰撞增多，因而電子流的阻礙增大，電阻率增大。

➤ 半導體(Semiconductor)電阻率與溫度成反比：

- 因溫度升高，會釋出更多的自由電子參與傳導過程，同時亦可藉由摻入雜質來控制電阻率。

➤ 超導體(Superconductor)電阻率會在某臨界溫度 T_C 下完全消失

- 古柏(Cooper)理論可解釋如何克服晶格瑕疵。

● 歐姆定律 (Ohm's Law) $\Rightarrow \begin{cases} \text{巨觀型式} : V = IR \Rightarrow R = \frac{V}{I} \\ \text{微觀型式} : J = \frac{E}{\rho} \Rightarrow \rho = \frac{E}{J} \end{cases}$

巨觀 \rightarrow 微觀的推導： $R = \frac{V}{I} \Rightarrow \frac{\rho \ell}{A} = \frac{E \ell}{JA} \Rightarrow \rho = \frac{E}{J}$

➤ 歐姆性裝置(ohmic device)：如碳或陶瓷電阻器。

一溫度一定時， V 與 I 關係成一直線， $R=V/I=\text{const.}$

➤ 非歐姆性裝置(nonohmic device)：如接面二極體， $R=V/I \neq \text{const.}$

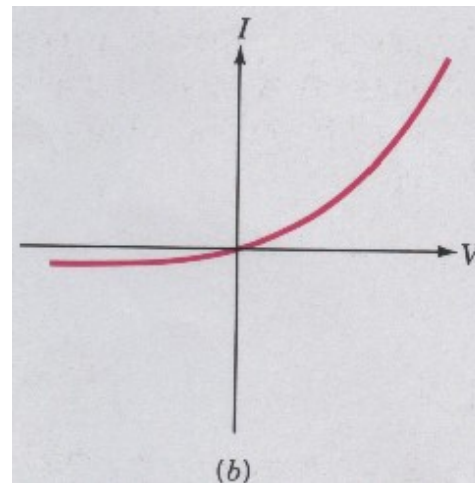
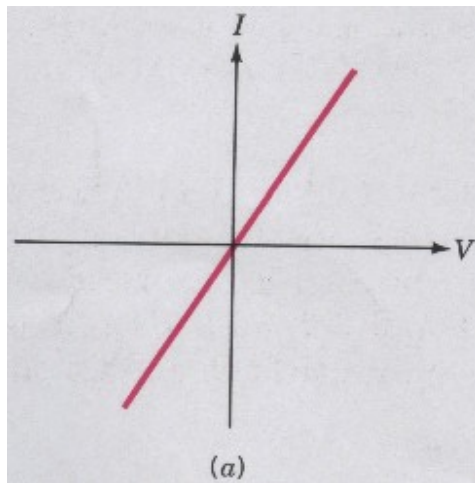
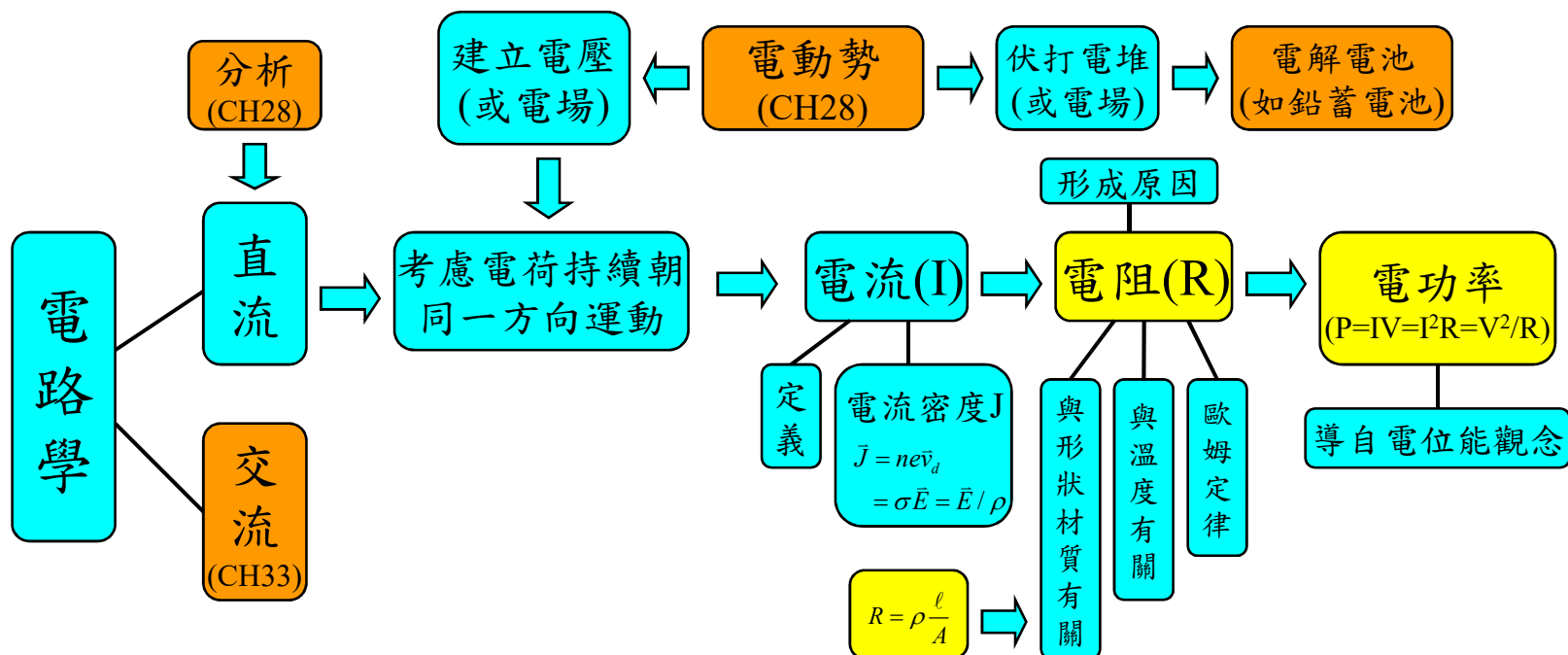


Fig.27.11

- 功率(power)

$$P = \frac{dU}{dt} = \frac{d(qV)}{dt} = \left(\frac{dq}{dt}\right)V = IV = I(IR) = I^2R = \frac{V^2}{R}$$

本章重要觀念發展脈絡彙整



習題

- 教科書習題 (p.542~p.544)

Exercise: 1,9,13,19,23,29,33

Problem: 3,4,5

- 基本觀念習題：

- 1.請說明金屬電阻率的形成原因。
- 2.請解釋電阻率與溫度成正比或反比的原因。
- 3.請寫出巨觀與微觀形式的歐姆定律。

- 延伸思考習題：

- 1.何謂超導體(superconductor)？請說明低溫超導的古柏(Cooper)理論及敘述目前超導研究的發展。

✦ 直流電路(Direct Current Circuit)

- 電動勢(Electromotive Force, emf) $\Rightarrow \xi = \frac{W_{ne}}{q}$

— 驅使電荷環繞封閉迴路運動時，對每單位電荷所作的功。

- ‘ ne ’表非靜電動因(W_{ne} 即非靜電力所作的功)。
(non-electrostatic agent)

- 電動勢與電位差之區別 $\Rightarrow \begin{cases} \text{電位差恆與保守靜電場有關。} \\ \text{電動勢恆與非靜電機構有關。} \end{cases}$
(非靜電機構可提供分離正負電荷的能量)

- 電動勢源可將某種形式的能量轉換為靜電電位能。

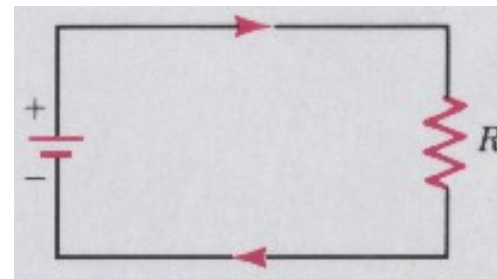
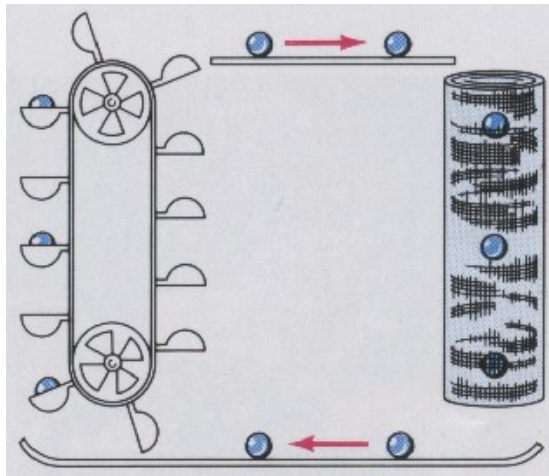


Fig.28.1

● 電動勢源的發展：

伏打電堆
(voltaic pile)



鉛蓄電池
(lead-acid cell)

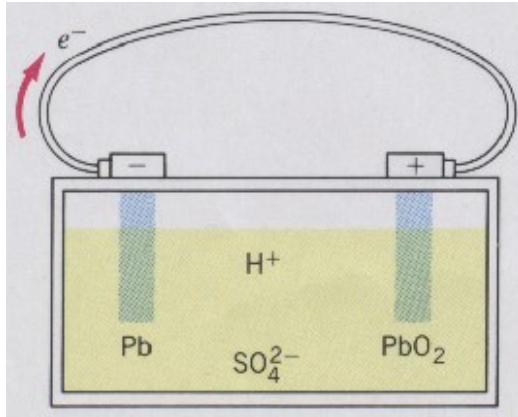
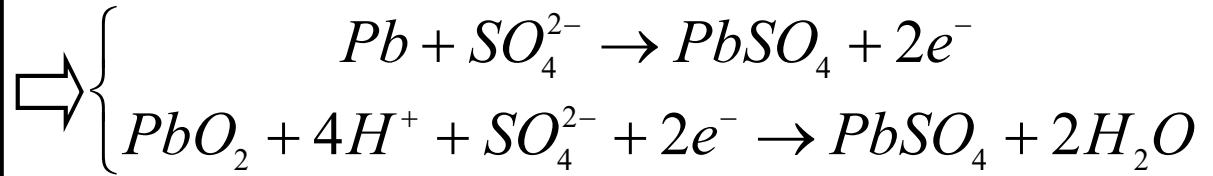


Fig.28.2

鉛蓄電池



- ⇒
- 硫酸會損耗，硫酸鉛會積存在兩極板。
 - 電子由Pb極板(負端)轉移至PbO₂極板(正端) 在外部導線形成電流，兩板電位差為2.05V。

● 端電位差(Terminal potential difference)－電動勢源兩端的電位差

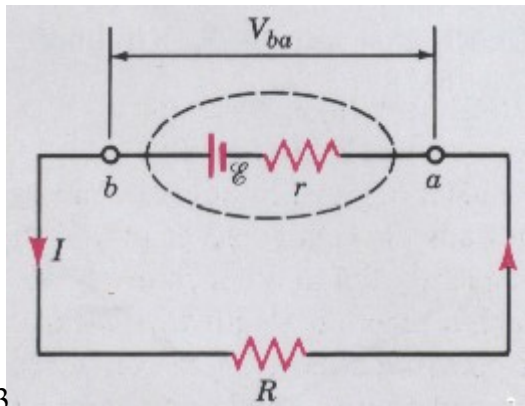


Fig.28.3

$$V_{ba} = V_b - V_a = \xi - Ir \xrightarrow{I=0} V_{ba} = \xi$$

- ⇒
- V_{ba}表電荷傾向將靜電位能減至最小
 - ξ表傾向將電荷分離的某種能量減至最小，而轉換為電位能，使電位能增加。

• 克希荷夫法則(Kirchhoff's rules) \Rightarrow $\begin{cases} \text{接點法則: } \sum I = 0 \\ \text{迴路法則: } \sum V = 0 \quad (\text{or } \sum \Delta V = 0) \end{cases}$

接點法則 \Rightarrow $\begin{cases} \text{進入或離開某個接點的電流代數和為零。} \\ \text{(電荷守恆的另一種陳述)} \\ \text{電流方向一般遵循高電位至低電位。} \end{cases}$
(junction rules)

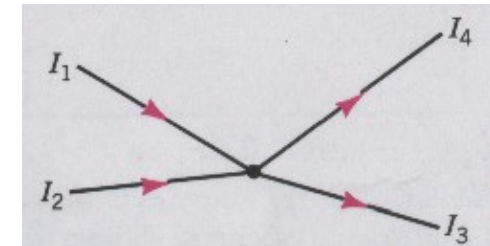


Fig.28.5

迴路法則 \Rightarrow $\begin{cases} \text{環繞一封閉迴路之電位變化量代數和為零。 (能量守恆概念)} \\ \text{迴路順電流方向} \Rightarrow \text{電阻器 } \Delta V \text{ 為負值, emf源 } \Delta V \text{ 為正值。} \\ \text{迴路逆電流方向} \Rightarrow \text{電阻器 } \Delta V \text{ 為正值, emf源 } \Delta V \text{ 為負值。} \end{cases}$
(loop rules)

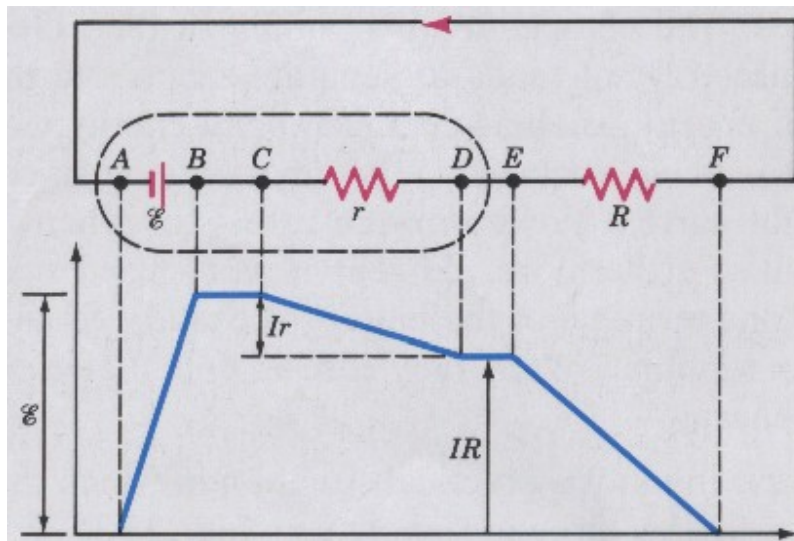


Fig.28.6

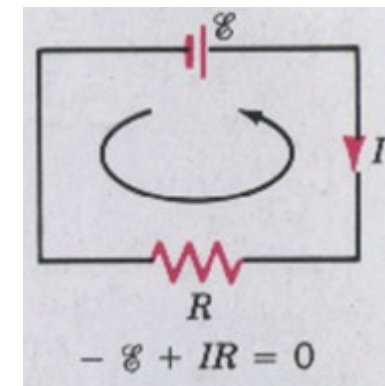
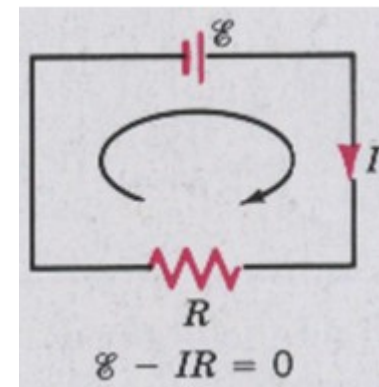


Fig.28.7

●電阻串聯(in series) \Rightarrow 電流相同 $\Rightarrow V = V_1 + V_2 = I(R_1 + R_2) = IR_{eq}$

$$\Rightarrow R_{eq} = R_1 + R_2 \Rightarrow R_{eq} = R_1 + R_2 + R_3 + \cdots + R_N$$

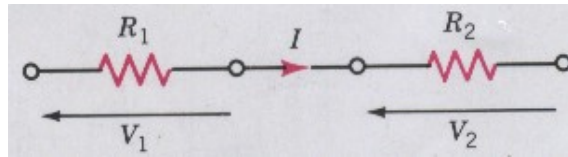


Fig.28.8

●電阻並聯(in Parallel) \Rightarrow 電位差(或電壓)相同 $\Rightarrow I = I_1 + I_2 \Rightarrow I = \frac{V}{R_1} + \frac{V}{R_2} = \frac{V}{R_{eq}}$

$$\Rightarrow \frac{1}{R_{eq}} = \frac{1}{R_1} + \frac{1}{R_2} \Rightarrow \frac{1}{R_{eq}} = \frac{1}{R_1} + \frac{1}{R_2} + \frac{1}{R_3} + \cdots + \frac{1}{R_N}$$

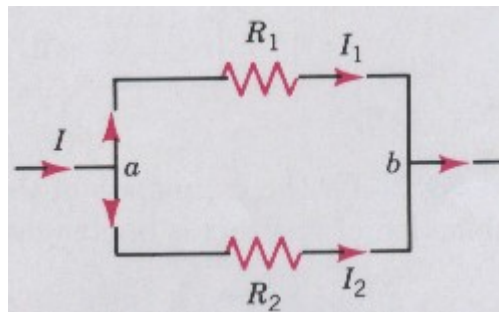


Fig.28.9

Example 28.4 : (a) $I_1=?$, $I_2=?$, $I_3=?$ (b) $V_A - V_B=?$

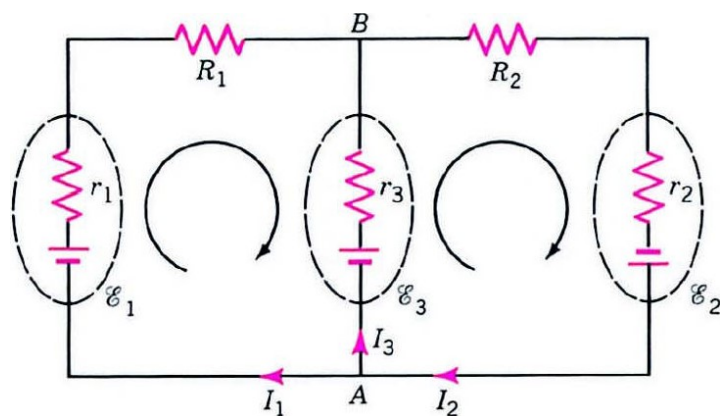


Fig.28.13

$$\text{junction rule: } I_1 - I_2 + I_3 = 0 \quad (1)$$

$$\text{Left loop: } \xi_1 - I_1 r_1 - I_1 R_1 + I_3 r_3 - \xi_3 = 0$$

$$\Rightarrow 15 - 2I_1 - 4I_1 + I_3 - 4 = 0 \Rightarrow 11 - 6I_1 + I_3 = 0 \quad (2)$$

$$\text{Right loop: } \xi_3 - I_3 r_3 - I_2 R_2 + \xi_2 - I_2 r_2 = 0$$

$$\Rightarrow 4 - I_3 - 3I_2 + 6 - 2I_2 = 0 \Rightarrow 10 - 5I_2 - I_3 = 0 \quad (3)$$

$$\text{From (1),(2),(3)} \Rightarrow I_1 = 1.85 A, I_2 = 1.97 A, I_3 = 0.12 A \quad \text{Ans(a)}$$

$$V_A - V_B = I_3 r_3 - \xi_3 = (0.12)(1) - 4 = -3.78 V \quad \text{Ans(b)}$$

(初始B, 終點A \Rightarrow 終 - 初)

• RC circuits :

穩流
(steady currents)

+ 電容(capacitor)

暫態電流變化
(variable currents)

► 放電(Discharge) :

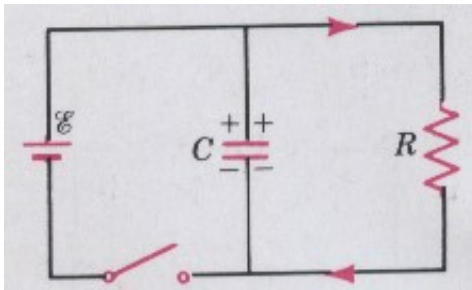


Fig.28.16

The switch is opened at $t=0$ (短路)

$$\frac{Q}{C} - IR = 0 \text{ (from loop rule)} \Rightarrow \frac{Q}{C} = IR \Rightarrow I = \frac{Q}{RC} \quad (\text{電流減小})$$

$$\xrightarrow{I = -\frac{dQ}{dt}} \frac{dQ}{dt} = -\frac{Q}{RC} \Rightarrow \int \frac{dQ}{Q} = -\frac{1}{RC} \int dt \Rightarrow \ln Q = -\frac{t}{RC} + k$$

$$\xrightarrow{Q=Q_0 \text{ at } t=0} k = \ln Q_0 \Rightarrow Q = Q_0 e^{-t/RC}$$

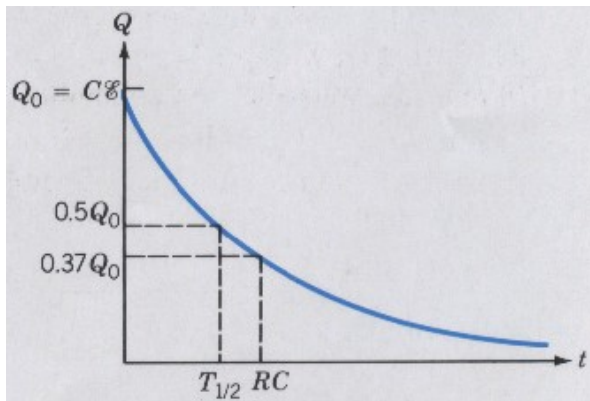


Fig.28.17

$$\tau = RC \Rightarrow \begin{cases} Q = Q_0 e^{-1} = 0.37Q_0 & (t = \tau) \\ 1/2 Q_0 = Q_0 e^{-T_{1/2}/RC} & (t = 0.693\tau) \end{cases}$$

時間常數
(Time constant)

$$\text{電流} \Rightarrow I = -dQ/dt \Rightarrow I = I_0 e^{-t/RC}$$

$$\Rightarrow \begin{cases} I = I_0 = \xi / R \text{ (最大, 短路)} & \text{at } t = 0 \\ I = 0 \text{ (斷路)} & \text{at } t \rightarrow \infty \end{cases}$$

➤ 充電(charging) :

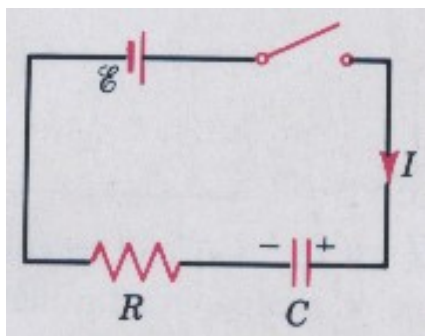


Fig.28.18

The switch is closed at $t=0$ (短路) $I = +\frac{dQ}{dt}$ (電流增加)

$$\xi - IR - \frac{Q}{C} = 0 \text{ (from loop rule)} \Rightarrow \xi - \frac{dQ}{dt}R - \frac{Q}{C} = 0$$

$$\Rightarrow C\xi - Q = \frac{dQ}{dt}RC \Rightarrow \int \frac{dQ}{C\xi - Q} = \frac{1}{RC} \int dt$$

$$\Rightarrow -\ln(C\xi - Q) = \frac{t}{RC} + k$$

$$\xrightarrow{Q=0 \text{ at } t=0} k = -\ln(C\xi)$$

$$\Rightarrow \ln\left(\frac{C\xi - Q}{C\xi}\right) = -\frac{t}{RC} \xrightarrow{\because Q_0 = C\xi} Q = Q_0(1 - e^{-t/RC})$$

$$\text{At } t = \tau (= RC) \Rightarrow Q = Q_0(1 - e^{-1}) = 0.63Q_0$$

$$\text{Current} \Rightarrow I = +dQ/dt \Rightarrow I = I_0 e^{-t/RC}$$

(與放電形式相同)

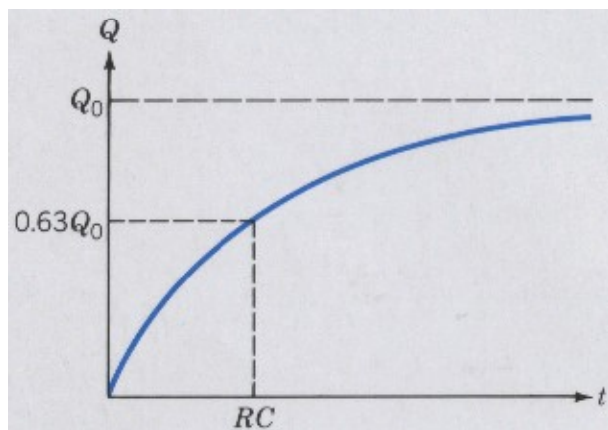


Fig.28.19

➤ RC電路分析重點 { 充、放電剛開始(即 $t=0$) , $I = I_0 = \xi/R$ (短路)
充、放電完成達穩態($t \rightarrow \infty$) , $I = 0$ (斷路)

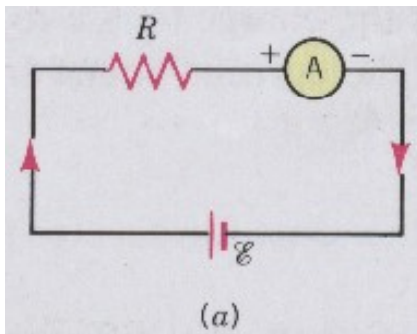
- 直流儀表(Direct current instruments)

量測電流 \Rightarrow 安培計(Ammeter)、檢流計(Galvanometer)

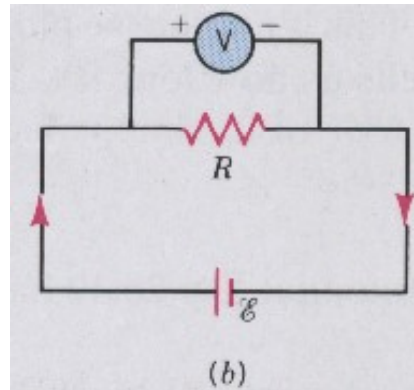
量測電位差 \Rightarrow 伏特計(Voltmeter)

量測電阻 \Rightarrow 歐姆計(ohmmeter)、惠斯登電橋(Wheatstone bridge)

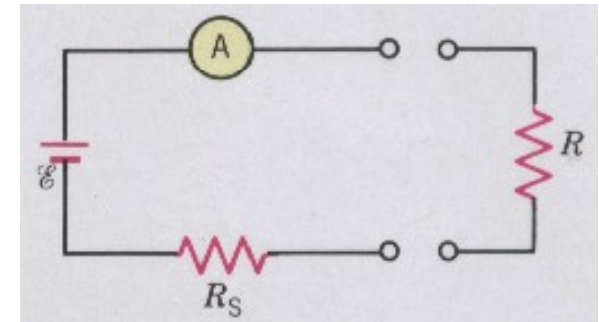
量測 emf \Rightarrow 電位計(potentiometer)



(安培計)



(伏特計)



(歐姆計)

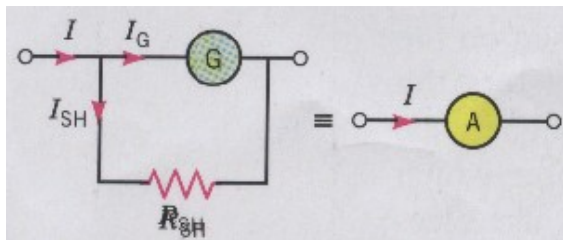


Fig.28.21

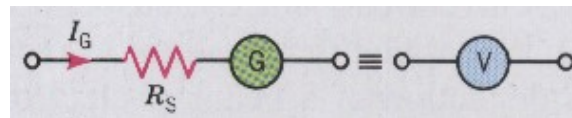


Fig.28.22

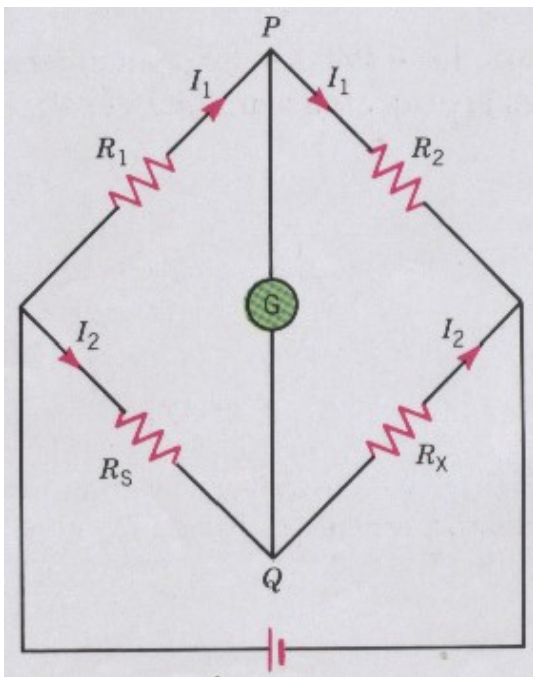


Fig.28.24

(惠斯登電橋)

當檢流計G無電流通過，代表P,Q電位相等

$$I_1 R_1 = I_2 R_s \quad (1) \quad ; \quad I_1 R_2 = I_2 R_x \quad (2)$$

$$(2)/(1) \Rightarrow R_x = \frac{R_2}{R_1} R_s$$

For uniform wire , $R \propto \ell \Rightarrow R_x = (\ell_2 / \ell_1) R_s$

(電位計)

當檢流計G無電流通過，代表電位相等

$$\begin{cases} \xi_s - IR_s = 0 \\ \xi_x - IR_x = 0 \end{cases} \Rightarrow \xi_x = \frac{R_x}{R_s} \xi_s$$

$$\xrightarrow[\text{For uniform wire}]{\text{If } R \propto \ell} \xi_x = \frac{\ell_x}{\ell_s} \xi_s$$

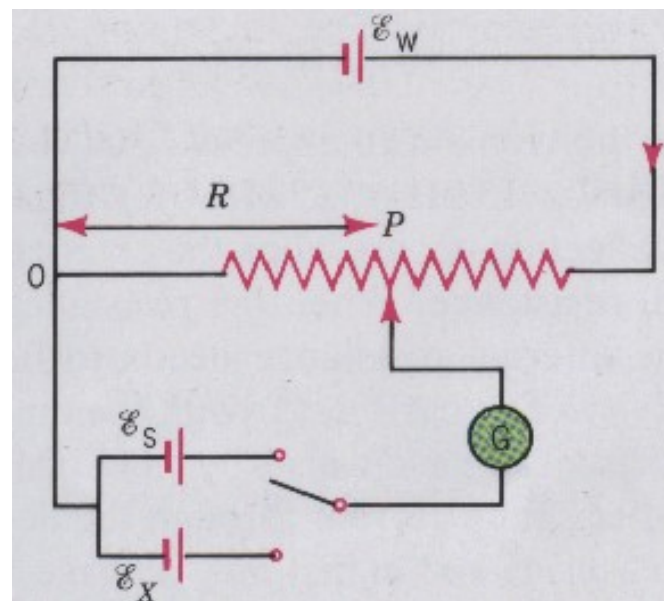
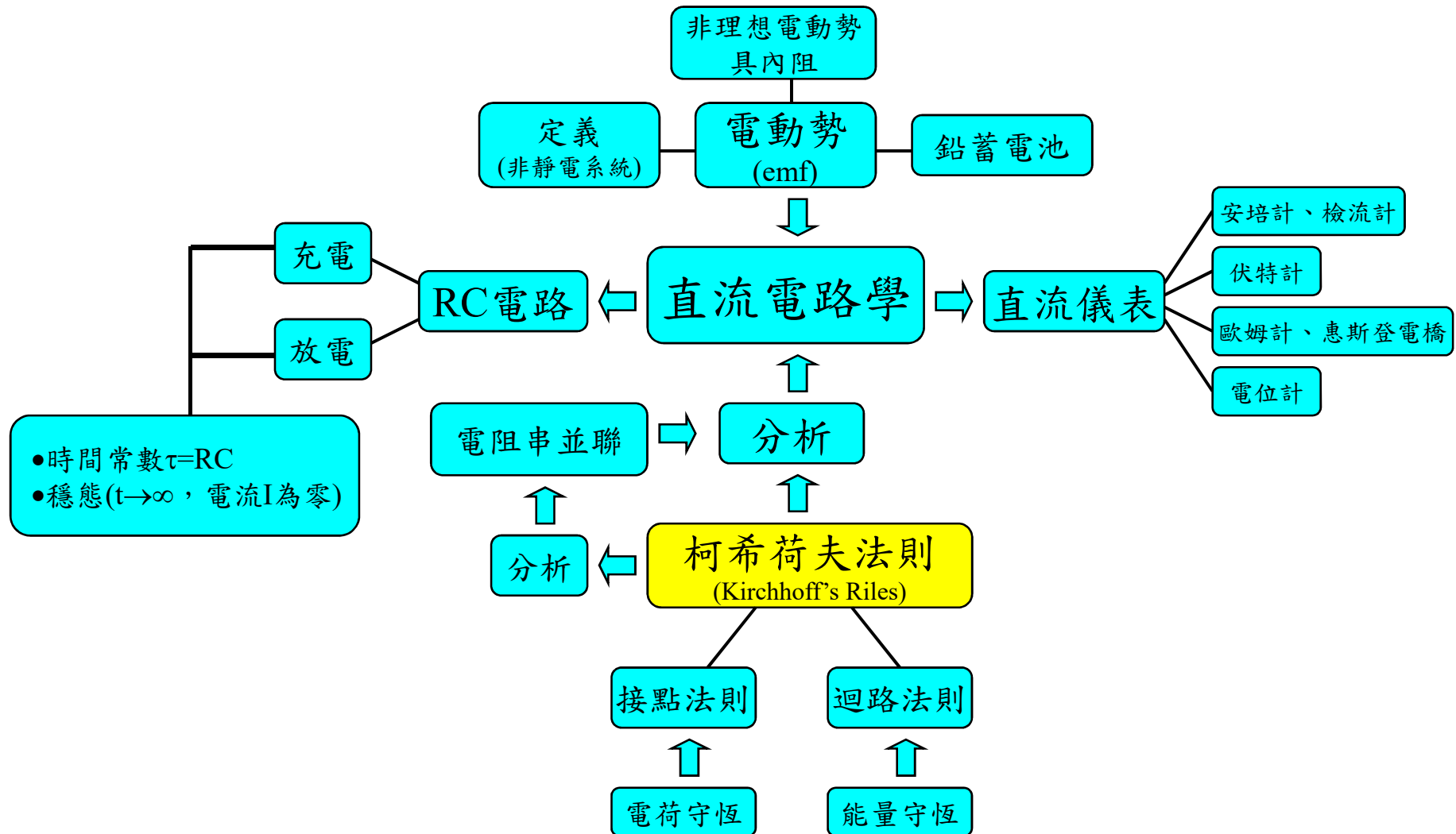


Fig.28.25

本章重要觀念發展脈絡彙整



習題

- 教科書習題 (p.569~p.577)

Exercise: 3,9,19,21,27,33,43,67,77

Problem: 9,12

Problem 12 Ans: (a) $I_1 = \xi/R_1$, $I_2 = \xi/R_2$; (b) $I_1 = \xi/R_1$, $I_2 = 0$; (c) $U = C\xi^2/2$;
(d) $(R_1 + R_2)C$

- 基本觀念習題：

1.請說明柯希荷夫法則(Kirchhoff's Riles)。